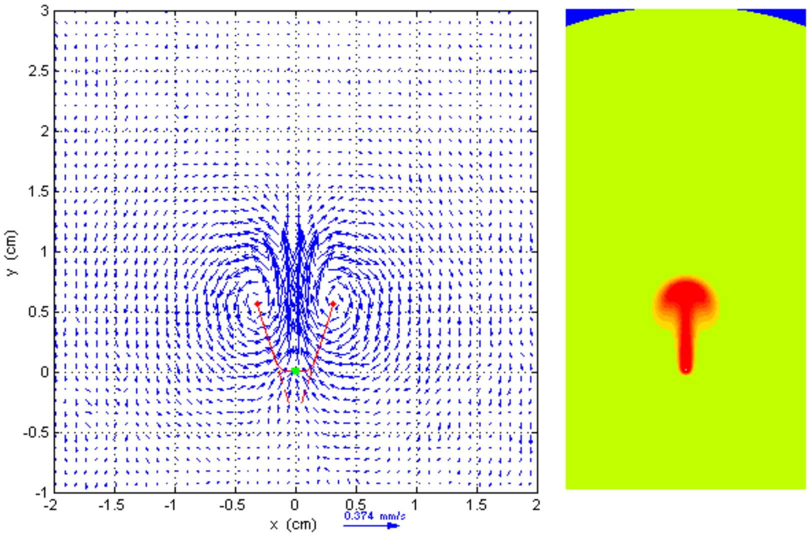

Figure 1: Un instantané des champs de vitesse (PIV par flot optique) et de température (simulation) à $t = 5$ s.

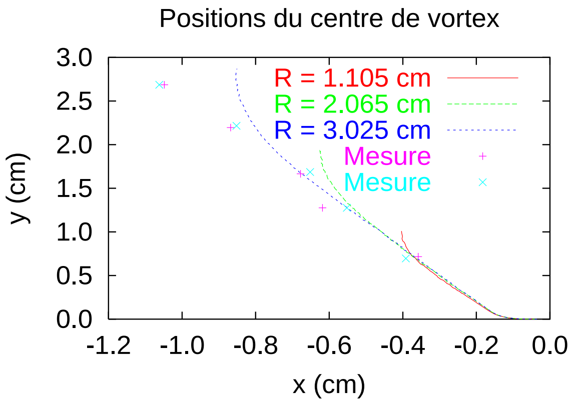

Figure 2: Evolution des positions du centre des tourbillons. La cohérence est observée non seulement entre les mesures et les calculs numériques mais aussi entre les calculs numériques pour des domaines de calcul de rayons R différents. On note toutefois que la trajectoire du centre est déviée lorsque les tourbillons s'approchent de la frontière du domaine.

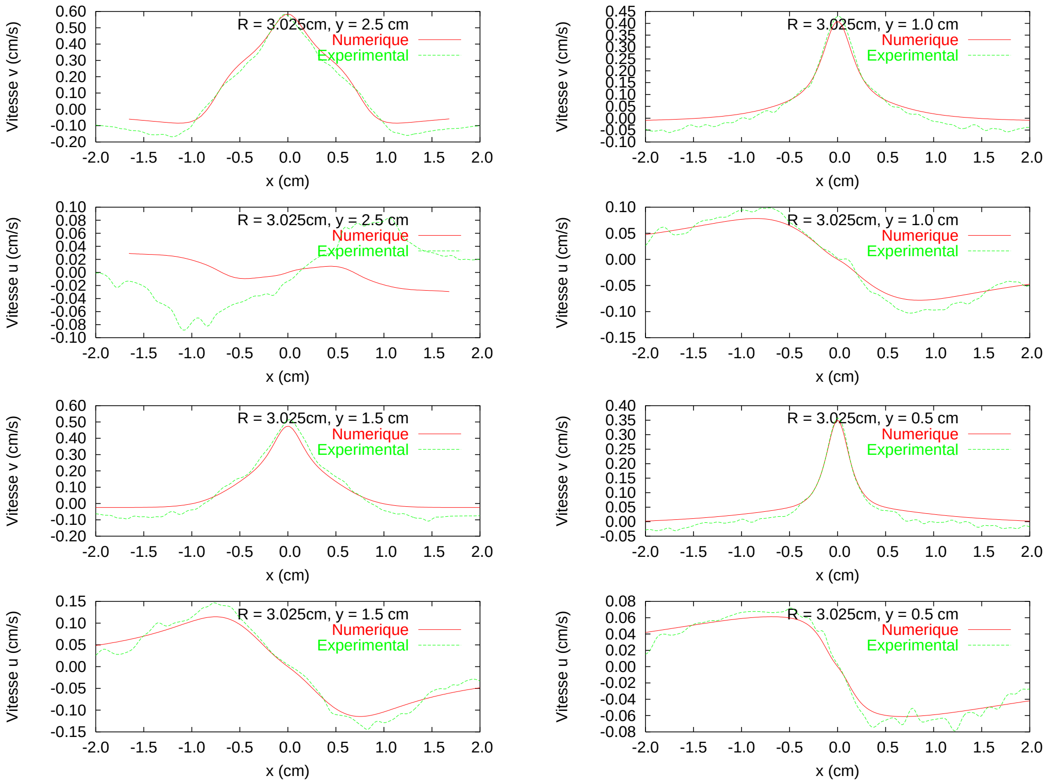

Figure 3: Comparaison des profils de vitesse à $t = 16$ s. Les composantes de vitesse sont présentées en coordonnées cartésiennes.